

## تحلیل زمانی-مکانی آلودگی‌های خطرناک شهر تبریز با تأکید بر $PM_{10}$

علی‌محمد خورشیددوست<sup>\*</sup>- استاد گروه آب‌وهواشناسی، دانشکده جغرافیا و برنامه‌ریزی، دانشگاه تبریز  
خلیل ولی‌زاده کامران- استادیار گروه سنجش از دور، دانشکده جغرافیا و برنامه‌ریزی، دانشگاه تبریز  
علی قاسمی بگناش- دکتری آب‌وهواشناسی، دانشکده جغرافیا و برنامه‌ریزی، دانشگاه تبریز

تاریخ دریافت: ۱۳۹۵/۹/۵ تاریخ پذیرش: ۱۳۹۵/۱۲/۲۸

### چکیده

در مطالعه حاضر به تحلیل زمانی-مکانی آلودگی‌های خطرناک کلان‌شهر تبریز با تأکید بر  $PM_{10}$  پرداخته شده است. بدین منظور، از داده‌های آلودگی  $PM_{10}$  سازمان حفاظت محیط زیست تبریز پنج ایستگاه-باغشمال، راه‌آهن، راسته‌کوچه، آبرسان، و حکیم نظامی- طی دوره آماری هشت‌ساله (۲۰۱۲-۲۰۰۵) استفاده شد. در این مطالعه، روز خطرناک روزی تلقی می‌شود که مقدار  $PM_{10}$  آن بیشتر از ۴۲۰ میکروگرم بر متر مکعب باشد. روش کار بدین شرح است: پس از تنظیم ماتریس داده‌ها، روزهای حدی با آلودگی خطرناک  $PM_{10}$  بیشتر از ۴۲۰ میکروگرم بر متر مکعب در طی دوره آماری هشت‌ساله (۲۰۱۲-۲۰۰۵) تفکیک و پس از فیلترگذاری از نظر زمانی-مکانی تجزیه و تحلیل شد. نتایج حاصل از تحلیل فراوانی  $PM_{10}$  نشان می‌دهد که در همه ایستگاه‌های مورد مطالعه بیشترین رخداد فراوانی  $PM_{10}$  در تابستان (ماه اوت) بوده است و بیشک سیطره پُرفشار جنب حاره، به دلیل تشکیل لایه‌های حرارتی بر روی ایران، در افزایش آلودگی‌های خطرناک تابستانه تبریز نقش مؤثری دارد. در فصل زمستان در بیشتر ایستگاه‌ها رخداد آلودگی‌های خطرناک  $PM_{10}$  به کمترین مقدار خود رسیده است. در بین ایستگاه‌های مورد مطالعه، ایستگاه باغشمال و آبرسان دارای بیشترین آلودگی خطرناک  $PM_{10}$  هستند.

کلیدواژه‌ها: تبریز، تواتر، روزهای خطرناک، شاخص آلودگی  $PM_{10}$

### مقدمه

موضوع آب‌وهوای شهری در سال‌های اخیر بسیار گسترش یافته است. آب‌وهواشناسی شهری به تأثیر دخالت انسان در محیط زیست توجه دارد. طی دهه‌های گذشته به موازات افزایش شتاب‌زده جمعیت، سهم جمعیت شهری نسبت به کل جمعیت کشورها به سرعت افزایش یافته و توسعه شهری را در مسیرهای نسنجیده و غیرمنطقی قرار داده است (شکویی، ۱۳۵۸). مهاجرت انسان‌ها به شهرها همراه تراکم و فشردگی واحدهای مسکونی و محدودیت جا و فضا، سر و صدای وسائل نقلیه شهری، خطرهای ناشی از آلودگی هوا و پیامدهای آن انسان را به بیماری‌های گوناگونی از قبیل آسم، برونشیت، بیماری‌های قلبی-عروقی، و سرطان پوست مبتلا کرده است (خورشیددوست، ۱۳۹۳). مسئله آلودگی از مسائل مهم در بررسی‌های آب‌وهوایی است؛ مسئله‌ای که در سلامت موجودات زنده یک منطقه تأثیر زیادی دارد و امروزه یکی از موضوعات مهم مطرح در آب‌وهوای شهری است. دانش آب‌وهواشناسی توجه و تأکید بسیار زیادی در بررسی تأثیرات آلاینده‌های جوی بر ویژگی‌های آب‌وهوایی و بر عکس دارد (اصیلیان و همکاران، ۱۳۸۵).

به طور کلی، آلودگی هوا عبارت است از: وجود یک یا چند آلوده مانند گرد و غبار، گازها، بو، دود، بخارات در هوای

آزاد با کمیت‌ها و ویژگی‌های مختلف که برای زندگی انسان، گیاه یا حیوان خطرناک و برای اموال مضر است یا مخل استفاده راحت از زندگی و اموال است (روشن و همکاران، ۱۳۸۸). برهمنشی حرکات بزرگ‌مقیاس جو با حرکات کوچک‌مقیاس محلی همواره رخ می‌دهد. شرایط جوی بزرگ‌مقیاس (همدید) نقش کنترل‌کننده‌ای در شرایط محلی و منطقه‌ای دارد. مثلاً، به هنگام فعالیت سامانه‌های کم‌فشار دینامیکی، جریان‌ها و پدیده‌های محلی (مانند بادهای کوه به دشت و آلوگی هوا) حذف یا بسیار ضعیف می‌شود و در زمان استقرار سامانه‌های پُرفشار شرایط مناسبی برای وقوع این پدیده‌ها مهیا می‌شود. شدت و دوره این پدیده‌ها به عوامل متعددی از جمله عوارض زمینی، شرایط جغرافیایی، و الگوهای همدیدی حاکم بستگی دارد (لندر برگ، ۱۹۸۱). یکی از مقوله‌های بارز آلوگی هوا انباست آلوگی در کلان‌شهرهاست. جمعیت شهری جهان در پنجاه سال اخیر به میزان ۲/۷ درصد در سال افزایش یافته است. در مقابل، جمعیت کل جهان با متوسط ۱/۸ درصد در سال افزایش یافته است. این مسائل بر اهمیت جهانی کلان‌شهرها افزوده است، بنابراین رشد آن‌ها برای کیفیت هوای جهان و مشکلات اقلیم مهم است. کاهش کیفیت هوا در مناطق پُرتراکم شهری بزرگ اثرهای مهمی در بهداشت و سلامتی انسان گذارد است که به افزایش شیوع بیماری‌ها و مرگ‌ومیر، افت کیفیت هوای منطقه‌ای و شهری، و درنتیجه تأثیر سوء بر روی اقلیم زمین منجر شده است. از آنجا که پیش‌بینی می‌شود تولیدات صنعتی و رشد اقتصادی افزایش یابد، انتشار آلاینده‌های هوا نیز در اتمسفر افزایش خواهد یافت؛ بنابراین نیاز مبرم به مطالعه خصوصیات آلوگی هوا، دینامیک ذرات، و انتقال آن‌ها در اتمسفر در مقیاس‌های زمانی و مکانی مختلف خواهد بود. تغییرپذیری مکانی و زمانی آلاینده‌های هوا موضوع مطالعات زیادی بوده است. علاوه بر این، ضروری است که آلوگی هوا در انباسته‌های شهری نیز بررسی شود (لازاریدیس، ۲۰۱۱). متخخصان با دیدگاه‌های گوناگون به بررسی آلوگی هوا پرداخته‌اند؛ به برخی از آن‌ها اشاره می‌شود. مک‌گریگور و بامزلیس (۱۹۹۵)، ضمن بررسی برخی متغیرهای هواشناسی، از جمله رطوبت، ابرناکی، دید، سرعت باد، و تابش مربوط به سطح زمین، استقرار الگوهای واچرخندی را مهم‌ترین عامل مرتبط با افزایش آلوگی تشخیص دادند. سانچز-کویلو و فاطیما اندراد (۲۰۰۲) به مطالعه شرایط هواشناختی و تأثیر آن در تمرکز آلوگی هوا در سائوپائولو و برزیل و ارزیابی ارتباط سیستم‌های هواشناختی با غلظت آلاینده‌ها پرداختند و نتیجه گرفتند که مقادیر زیاد غلظت آلاینده‌ها در این منطقه تحت تأثیر سیستم‌های پُرفشار جنوب اطلس جنوبی است. در همین زمینه، کیم اون و همکاران (۲۰۰۵) الگوهای آب‌هواشناسی را برای پیش‌بینی پتانسیل آلوگی هوا در منطقه‌ای کوهستانی و دره‌ای شکل در کشور تایوان طبقه‌بندی کردند و نشان دادند که این روش در پیش‌بینی شرایط آلوگه کاربرد مناسبی دارد. ماکرا و همکاران (۲۰۰۷) رابطه میان الگوهای جوی بزرگ‌مقیاس و سطوح آلوگی هوا را در پیچلی بررسی کردند و به این نتیجه رسیدند که افزایش غلظت آلاینده‌ها در زمان استقرار سامانه‌های واچرخندی همراه با پُرارتفاع تراز میانی جو رخ می‌دهد و این شرایط پُرارتفاع تراز زمستان مؤثر است؛ اما کاهش غلظت آلاینده‌ها، علاوه بر زمان فعالیت سامانه‌های چرخندی، به هنگام استقرار پُرارتفاع تراز میانی جو نیز می‌تواند رخ دهد. سه‌رابی‌نیا و خورشیددوست (۲۰۰۷) به امکان‌سنجی داده‌های مودیس جهت پایش آلوگی هوا در شهر تهران پرداختند. در این مطالعه از داده‌های ضخامت نوری مودیس استفاده شده است. زوار رضا و همکاران (۲۰۱۰) با مدل TAPM ارتباط بین تراکم ذرات معلق و الگوهای جوی حاکم در شهر تهران را ارزیابی کردند و به این نتیجه دست یافتند که بیشترین تمرکز آلاینده‌ها در زمان‌های صبح و عصر است که از الگوی ترافیک پیروی می‌کند. همچنین، می‌توان به وسیله این مدل به شبیه‌سازی آلوگی هوا و الگوهای هواشناسی متوسط‌مقیاس پرداخت. خدیرا و تارک خدیر (۲۰۱۲) تأثیر پارامترهای اقلیمی را در میزان غلظت آلاینده‌های هوا با استفاده از الگوریتم K-mean و شبکه عصبی مصنوعی در منطقه آنابای الجزایر بررسی کردند. در داخل کشور نیز مختصان به مطالعه در حوزه آلوگی هوا پرداخته‌اند؛ به برخی از آن‌ها اشاره می‌شود؛ عزتیان (۱۳۸۶) به بررسی تأثیر عوامل اقلیمی بر روی شاخص کیفیت هوا در شهر اصفهان با استفاده از نقشه‌های همدید پرداخت و به این نتیجه رسید که استقرار الگوهای واچرخندی با فشار مرکزی بالاتر از ۱۰۲۰ هکتوپاسکال روی شهر اصفهان در دوره سرد سال بیش از دیگر سامانه‌های جوی در افزایش آلوگی هوای شهر تأثیر دارند. عطایی و

садات هاشمی نسب (۱۳۹۰) به شناسایی و تجزیه و تحلیل الگوهای تراز میانی جو مؤثر در آلودگی هوای شهر اصفهان با استفاده از داده‌های شاخص استاندارد آلودگی هوا<sup>۱</sup> (PSI) روزانه سه ایستگاه به پایش کیفیت آلودگی میدان لاله، آزادی، و بزرگ‌مهر طی سال‌های ۱۳۸۴-۱۳۸۶ پرداختند. نتایج این بررسی نشان داد که الگوهای گردشی تراز میانی جو تأثیر بسزایی در آلودگی هوای شهر اصفهان دارد. در دوره‌های سرد و گرم سال کانونی از پُرفشارهای گسترده بر روی قلمروی وسیعی از ایران و به خصوص منطقه مورد مطالعه مشاهده شده که حضور این کانون پُرفشار باعث پایداری و تراکم ذرات بر روی شهر اصفهان شده است. خورشیددوست و همکاران (۱۳۹۱) به تحلیل آماری میزان ازون در جو ایران پرداختند. نتایج تحلیل‌های آماری این تحقیق حاکی از تغییر میزان ازون در سری‌های زمانی ماهانه، فصلی، و سالانه است. عزتیان و سادات هاشمی نسب (۱۳۹۲)، با استفاده از داده‌های آب‌وهوايی ایستگاه همیدد اصفهان و مقادیر آلاینده‌های سطح زمین ایستگاه‌های سنجش آلاینده‌های سازمان حفاظت محیط زیست، یک مدل آماری ارائه دادند که قادر به برآورد مقادیر قابل قبولی از ازون سطحی است. شمسی‌پور و همکاران (۱۳۹۲) به شبیه‌سازی الگوی پراکنش آلودگی هوای کلان‌شهر تهران در شرایط وزش باد پرداختند و به این نتیجه دست یافتند که شرایط وزش باد، افزایش میزان انرژی جنبشی تلاطم ناشی از سرعت باد، و شرایط ناپایدار جوی با انتقال افقی آلاینده‌ها و ایجاد حرکات قائم فرازشی سبب تعديل آلودگی می‌شود. رشد شتاب آلود جمعیت، مهاجرت‌های روتایی، گسترش کارخانه‌ها، تراکم وسائل نقلیه، شرایط توپوگرافی، و عوامل طبیعی تبریز را به صورت یکی از آلودترین شهرهای کشور ایران درآورده است. گذشته از عامل انسانی، عوامل جغرافیایی- نظیر موقعیت مکانی، توپوگرافی، و وارونگی دمایی- هم در تشید آلودگی شهر تبریز مؤثرند. در شرایط فعلی، بدون شک، هرگونه توسعه شهری در صورتی که با درایت و احتیاط کامل اجرا نشود، بیش از پیش بر این معضلات خواهد افود.

مروری بر پژوهش‌های انجام‌شده بیانگر آن است که یک برنامه مدون و سازمان‌یافته برای شناسایی جنبه‌های مختلف آلودگی هوای شهری در کشور وجود ندارد و تحقیقات انجام‌شده به صورت جزیبهای و بر اساس علایق شخصی پژوهشگران به انجام رسیده است. همچنین، بررسی تحقیقات انجام‌شده در رابطه با آلودگی هوا در شهر تبریز بیانگر آن است که، به رغم افزایش غلظت آلاینده‌های جوی و بروز پدیده آلودگی هوا در این شهر، پدیده یادشده در کلان‌شهر تبریز کمتر مورد توجه محققان قرار گرفته و به همین جهت جنبه‌های مختلف این معضل محیطی چه در مقیاس محلی و چه در مقیاس منطقه‌ای کمتر آشکار شده است. علاوه بر این، مروری بر تحقیقات انجام‌شده میان آن است که بررسی جامعی در مورد نقش فرایندهای جوی و الگوهای منطقه‌ای گردش جو بر غلظت آلاینده کلان‌شهر تبریز به انجام نرسیده است. از آنجا که کیفیت هوای شهر را به طور توانمند انتشار آلاینده‌ها و شرایط جوی خاص یا الگوهای گردش جوی معینی عین حال، دوره‌های آلودگی حد در محیط شهری اساساً نتیجه تسلط شرایط جوی خاص یا الگوهای گردش جوی معینی است که از انتقال یا پخش آلاینده‌ها در مقیاس‌های محلی و منطقه‌ای ممانعت یا آن را کنترل می‌کنند، هدف از این پژوهش تحلیل زمانی- مکانی آلودگی‌های خطرناک شهر تبریز با تأکید بر  $PM_{10}$  با استفاده از تأثیر برخی پارامترهای آب‌وهوايی در شدت و ضعف این آلودگی است.

## مواد و روش

ذرات معلق یا  $PM^2$  یکی از شاخص‌های آلودگی هواست که به وسیله ایستگاه‌های سنجش آلودگی نیز اندازه گرفته می‌شود. آنچه در مورد ذرات معلق و آلودگی هوا مهم است این است که ذرات معلق با قطر کوچک‌تر از ۱۰ میکرومتر ( $PM_{10}$ ) است. به هر ماده‌ای به جز آب خالص، که به صورت مایع یا جامد در اتمسفر تحت شرایط نرمال در اندازه میکروسکوبی یا کوچک‌تر اما بزرگ‌تر از ابعاد مولکولی (حدود ۲ آنگstrom) موجود باشد ذره معلق (PM) می‌گویند (صحرایی، ۱۳۹۰).

1. Pollutant Standards Index (PSI)  
2. particulate matter

تبریز، به عنوان بزرگ‌ترین شهر شمال غرب ایران و مرکز استان آذربایجان شرقی، قطب بازرگانی، صنعتی، سیاسی، و کانون ارتباطی شمال غرب ایران است. تبریز در ۶۳۵ کیلومتری غرب تهران، ۱۳۵ کیلومتری جنوب جلفا، و ۵ کیلومتری شمال غرب کوهستان سهند قرار دارد. وسعت تبریز حدود ۱۵۳۲۶/۷۱ هکتار است و از نظر موقعیت جغرافیایی بزرگ‌ترین شهر در ناحیه کلان‌شهری تبریز است. این شهر در عرض ۳۸ درجه و ۵ دقیقه ۲۵ ثانیه شمالی و طول ۴۶ درجه ۱۷ دقیقه و ۵ ثانیه شرقی در جلگه شرقی دریاچه ارومیه در مسیر رودخانه آجی‌چای و محصور میان کوه‌های محلی از شمال و پیش کوه‌های سهند از جنوب است که کم ارتفاع‌ترین نقطه آن ۱۳۶۱ متر (در محل فرودگاه تبریز) است. ارتفاع متوسط این شهر حدود ۱۳۴۰ متر است. این شهر بزرگ‌ترین مرکز زیستی غرب کشور به شمار می‌رود (امیری و همکاران، ۱۳۸۶). امروزه، کلان‌شهر تبریز از شهرهای آلوده ایران است. تبریز بعد از دهه ۱۳۴۰ به عنوان یک شهر صنعتی مورد توجه قرار گرفت و صنایع مختلفی که در آن مکان‌یابی شد باعث گسترش بی‌رویه شهر شد. همچنین، در اثر مکان‌یابی نامناسب این مراکز صنعتی بر شدت آلودگی‌های جوی در شهر افزوده شده است. علاوه بر این، تبریز با دارابودن جمعیت ۱۷۴۰۷۱۹ نفری و مراکز صنعتی مهمی نظیر نیروگاه حرارتی، مجتمع پتروشیمی، پالایشگاه، ماشین‌سازی و تراکتورسازی و ده‌ها کوره آجرپزی و غیره یکی از شهرهای آلوده کشور به شمار می‌رود (مرکز آمار ایران، ۱۳۹۰).

هدف از این مطالعه تحلیل زمانی - مکانی آلودگی‌های خطرناک کلان‌شهر تبریز با تأکید بر  $PM_{10}$  طی دوره آماری هشت‌ساله (۲۰۱۲-۲۰۰۵) تبریز برای پنج ایستگاه با غشمال، راه‌آهن، راسته کوچه، آبرسان، و حکیم نظامی است. همه این ایستگاه‌ها متعلق به اداره کل حفاظت محیط زیست استان آذربایجان شرقی است. چون داده‌های آلودگی هوا در سطح زمین حجم عظیمی از داده‌ها را شامل می‌شوند، از میان داده‌های روزانه ذرات معلق  $PM_{10}$  انتخاب شد و روزهای فرین آلوده فیلترگذاری شد و مقادیر حدی آلودگی هوای  $PM_{10}$  انتخاب شد. در مورد شاخص  $PM_{10}$  بر اساس جدول ۲ روزهایی با آلودگی‌های خطرناک شناسایی، بررسی، و تجزیه و تحلیل شد.

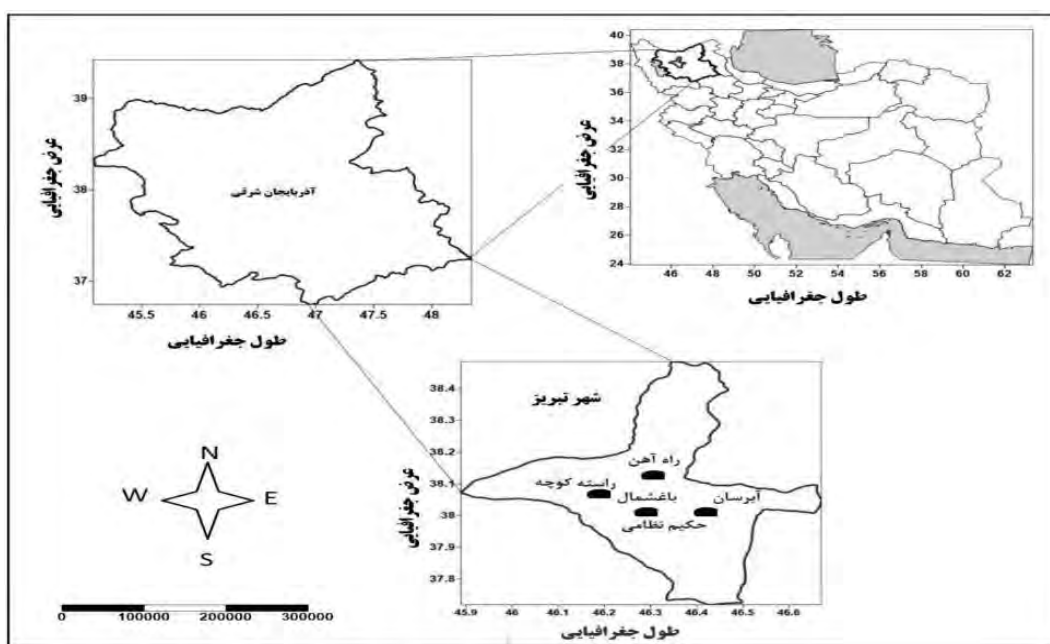
جدول ۱. مختصات ایستگاه‌های آلوده‌سنجدی منطقه مورد مطالعه

عرض جغرافیایی						طول جغرافیایی			نام ایستگاه آلوده‌سنجدی
درجه	دقیقه	ثانیه	درجه	دقیقه	ثانیه				
۳۸	.۲	۵۹	۴۶	۱۶	۴۸	حکیم نظامی			
۳۸	.۳	۳۶	۴۶	۱۳	۴۷	بغشمال			
۳۸	.۴	۱۲	۴۶	۱۳	۴۷	راه‌آهن			
۳۸	.۳	۳۶	۴۶	۱۹	۱۲	آبرسان			
۳۸	.۴	۱۲	۴۶	۱۷	۲۳	راسته کوچه			

جدول ۲. طبقات غلظت آلاینده  $PM_{10}$  (بر حسب میکروگرم بر متر مکعب) منبع: USEP, A. 1998

خطروناک	بسیار ناسالم	ناسالم	ناسالم	خوب	شاخص
>۴۲۰	۲۵۰-۴۲۰	۱۵۰-۳۵۰	۵۰-۱۵۰	-۵۰	$PM_{10}$

شاخص مورد نظر در این تحقیق روزی است که مقدار  $PM_{10}$  آن از ۴۲۰ (میکروگرم بر متر مکعب) بزرگ‌تر باشد. پس از استخراج روزهای خطرناک، تواتر و تداوم زمانی و مکانی این روزها برای هر ایستگاه جداگانه بررسی و تجزیه و تحلیل شد. به منظور تجزیه و تحلیل آماری، از نرم‌افزار متلب و برای ترسیم نقشه‌ها از نرم‌افزار سورفر بهره گرفته شد.



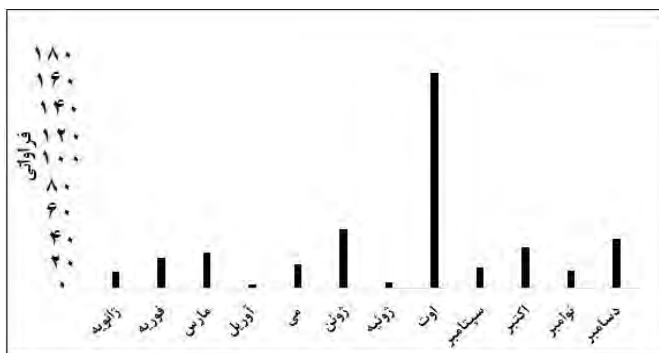
شکل ۱ . ایستگاه های آلوده سنجی و محدوده کلان شهر تبریز در ایران و استان آذربایجان شرقی

### یافته های پژوهش

جدول ۳ فراوانی وقوع آلودگی های خطرناک  $PM_{10}$  را طی ماه های مختلف نشان می دهد. ماه اوت (مرداد) در همه سال ها دارای بیشینه فراوانی است و این وضعیت شاید به این دلیل باشد که غالباً در ایران در ماه های تابستان جو آرامی حاکم است و سیطره پُرفشار پویشی جنب حاره باعث تراکم آلودگی ها در شهرهای صنعتی شده است؛ چون در همه ایستگاه های مورد مطالعه در فصل تابستان بیشترین رخداد آلودگی های خطرناک در ماه اوت بوده است و بی شک سیطره پُرفشار جنب حاره به سبب تشکیل لایه های حرارتی بر روی ایران در افزایش آلودگی های خطرناک تابستانه تبریز نقش مؤثری دارد. در مقابل، در فصل زمستان، در بیشتر ایستگاه ها رخداد آلودگی های خطرناک  $PM_{10}$  به کمترین مقدار رسیده است. این بدان علت است که در فصل زمستان به سبب ورود بادهای غربی به ایران و ریزش های جو میزان آلاینده های جوی به حداقل میزان خود می رسد. با وجود این، حداکثر فراوانی آلودگی های خطرناک  $PM_{10}$  با ۴۴ روز در ماه اوت (مرداد) در سال ۲۰۰۷ رخ داده است.

جدول ۳. فراوانی ماهانه آلودگی خطرناک  $PM_{10}$  ایستگاه باشممال طی دوره هشت ساله (۲۰۱۲-۲۰۰۵)

سال	ژانویه	فبروری	ماهی	آپریل	مای	جون	ژوئیه	اگوست	سپتامبر	اکتبر	نوامبر	دسامبر	اجماعی
۱	۱۳	.	.	۰	۰	۱	۰	۰	۹	۰	۰	۰	۲۰۰۵
۲۲	.	۸	.	۳۷	۳	۹	۰	۱	۰	۱	۰	۰	۲۰۰۶
.	.	۸	۴۴	۰	۰	۱۱	۱	۰	۰	۰	۴	۰	۲۰۰۷
۱۲	.	۱	۰	۳۸	۲	۰	۱	۰	۰	۱	۲	۰	۲۰۰۸
۲	۱	۰	۰	۳	۰	۱۶	۵	۱	۰	۰	۱	۰	۲۰۰۹
۱	۰	۰	۶	۱۵	۰	۹	۰	۰	۱۷	۰	۱	۰	۲۰۱۰
.	.	۵	۰	۱۷	۰	۱	۲	۰	۲	۰	۵	۰	۲۰۱۱
.	.	۱۸	۲	۱۶	۰	۱۰	۰	۰	۰	۰	۰	۰	۲۰۱۲

شکل ۲. فراوانی ماهانه آلودگی خطرناک  $PM_{10}$  ایستگاه باغ شمال طی دوره هشت‌ساله (۲۰۱۲-۲۰۰۵)

میزان آلیندهای جوی در کلان‌شهر تبریز در ماه‌های زانویه (دی) تا مارس (اسفند) تقریباً ناچیز است. این در حالی است که هرچه به سمت فصل بهار و تابستان حرکت می‌کنیم آلودگی‌های خطرناک  $PM_{10}$  افزایش محسوسی به خود می‌گیرد. در اوایل تابستان و اوایل پاییز، به سبب ورود بادهای غربی، فراوانی آلودگی‌های خطرناک  $PM_{10}$  نسبت به فصل تابستان کاهش درخور توجهی دارد. بعد از ماه اوت (مرداد)، ماه ژوئن (خرداد) دارای بیشترین رخداد روزهای خطرناک  $PM_{10}$  در ایستگاه باغ شمال تبریز است. در ماه آوریل (فروردین) فراوانی رخداد آلودگی‌های خطرناک به کمتر از بیست روز رسیده است. نکته درخور توجه در این است که در ماه دسامبر (آذر) در فصل پاییز روزهای خطرناک یک شب افزایشی قابل محسوسی را تجربه کرده است؛ این وضعیت را شاید بتوان به رخداد وارونگی‌های دمایی نسبت داد؛ در حالی که در این موقع از سال بادهای غربی از شمال غرب وارد ایران می‌شوند و باید آلیندهای جوی در تبریز کاهش یابند. ولی نه تنها کاهش نیافته، بلکه روند افزایشی داشته است (شکل ۲). جدول ۴ تداوم رخداد آلودگی‌های خطرناک  $PM_{10}$  را در ایستگاه باغ شمال نشان می‌دهد.

جدول ۴. رخداد آلودگی‌های خطرناک ناشی از ذرات معلق در ایستگاه باغ شمال طی دوره هشت‌ساله (۲۰۱۲-۲۰۰۵)

نوع تداوم	فراتری	احتمال وقوع
تمام دور روزه	۱۷۸	۰/۱۷۵۵۴
تمام سه روزه	۱۴۵	۰/۱۴۳۰۰
تمام چهار روزه	۱۲۲	۰/۱۲۰۳۲
تمام پنج روزه	۱۰۶	۰/۱۰۴۵۴
تمام شش روزه	۹۳	۰/۰۹۱۷۲
تمام هفت روزه	۶۱	۰/۰۷۹۸۸
تمام هشت روزه	۲۱	۰/۰۷۰۲۰

تمام دور روزه آلودگی خطرناک  $PM_{10}$  در ایستگاه باغ شمال در طی دوره هشت‌ساله مورد مطالعه (۲۰۱۲-۲۰۰۵) ۱۷۸ روز و با احتمال رخداد ۰/۱۷۵۵۴ است. هرچه به سمت تداوم‌های بالاتر نگاه کنیم، از فراوانی آن‌ها کاسته شده است و به تبع آن احتمال رخداد چینی تداوم‌هایی هم کمتر است. مثلاً، تمام شش روزه آلودگی خطرناک  $PM_{10}$  در ایستگاه باغ شمال تبریز به ۹۳ روز و احتمال رخداد ۰/۰۹۱۷۲ رسیده است. تمام هشت‌روزه این مقدار به ۲۱ روز و احتمال رخداد ۰/۰۷۰۲ رسیده است (جدول ۴).

## ایستگاه آبرسان

جدول ۵ فراوانی وقوع آلودگی‌های خطرناک  $PM_{10}$  را طی ماه‌های مختلف در ایستگاه آبرسان نشان می‌دهد. همانند ایستگاه باغ شمال، در ایستگاه آبرسان نیز بیشترین رخداد آلودگی‌های خطرناک  $PM_{10}$  در ماه اوت رخ داده است. در این

ماه (اوت) به سمت سال‌های اخیر دوره مورد مطالعه (۲۰۱۲-۲۰۰۸) مقدار آلودگی‌های خطرناک در ایستگاه آبرسان افزایش محسوسی داشته است؛ به طوری که در سال ۲۰۱۲ در ماه اوت مقدار آلودگی‌های خطرناک به ۵۵ روز در سال رسیده است. این در حالی است که ماه‌های ژانویه، فوریه، ژوئیه، و نوامبر در ایستگاه آبرسان فاقد روزهایی با آلودگی خطرناک PM<sub>10</sub> بوده است (جدول ۵).

جدول ۵. فراوانی ماهانه آلودگی خطرناک PM<sub>10</sub> ایستگاه آبرسان طی دوره هشت‌ساله (۲۰۱۲-۲۰۰۵)

سال	۲۰۰۵	۲۰۰۶	۲۰۰۷	۲۰۰۸	۲۰۰۹	۲۰۱۰	۲۰۱۱	۲۰۱۲
۹	.	.	۱۷	۳۰	.	.	.	.
۱۷	.	.	۱۲	۴۰	.	.	۵	۲
.	.	.	۸	۱۰	.	.	۱۴	.
۱	.	.	۶	۱۲	.	.	۱	۱
۱	.	.	.	۲۷	.	.	۲	.
.	.	.	.	۴۴	.	.	۲	۱۰
.	.	.	.	۲۴	.	.	۳	.
.	.	.	.	۵۵	.	۱	۳	.

شکل ۳ فراوانی مجموع آلودگی‌های خطرناک PM<sub>10</sub> را برای ایستگاه آبرسان نشان می‌دهد. بیشترین فراوانی رخداد آلودگی‌های خطرناک PM<sub>10</sub> مربوط به ماه‌های اوت و سپتامبر است. در ماه‌های آوریل و می فراوانی رخداد آلودگی‌های خطرناک PM<sub>10</sub> در ایستگاه آبرسان به کمتر از پنجاه روز در طول دوره آماری هشت‌ساله رسیده است (شکل ۳). جدول ۶ تداوم آلودگی خطرناک PM<sub>10</sub> ایستگاه آبرسان را همراه احتمال رخداد آن‌ها نشان می‌دهد. فراوانی تداوم دوروزه در ایستگاه آبرسان طی دوره هشت‌ساله مورد مطالعه (۲۰۱۲-۲۰۰۵) ۱۱۸ روز با احتمال رخداد ۰/۱۷۲۰ است که نسبت به ایستگاه با غشمال کاهش در خورتوجهی داشته است. احتمال رخداد تداوم هشت‌روزه برای ایستگاه آبرسان به کمتر از بیست روز در سال رسیده است و احتمال رخداد آلودگی‌های خطرناک PM<sub>10</sub> برای تداوم هشت‌روزه به ۰/۰۶۴۱ رسیده است (جدول ۶).

شکل ۳. فراوانی ماهانه آلودگی خطرناک PM<sub>10</sub> ایستگاه آبرسان طی دوره هشت‌ساله (۲۰۱۲-۲۰۰۵)

جدول ۶. رخداد آلودگی‌های خطرناک ناشی از ذرات معلق در ایستگاه آبرسان طی دوره هشت‌ساله (۲۰۱۲-۲۰۰۵)

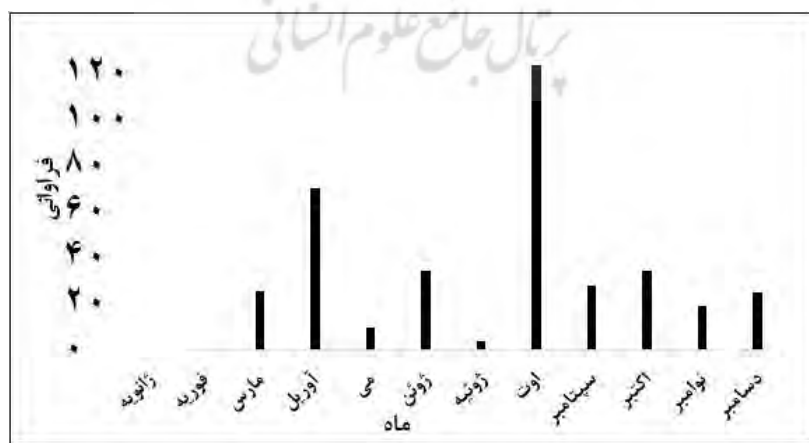
نوع تداوم	فراوانی	احتمال وقوع
تداوم دوروزه	۱۱۸	۰/۱۷۲۰
تداوم سه‌روزه	۱۰۳	۰/۱۵۰۱
تداوم چهارروزه	۸۹	۰/۱۲۹۷
تداوم پنج‌روزه	۷۷	۰/۱۱۲۲
تداوم شش‌روزه	۴۳	۰/۰۹۶۲
تداوم هفت‌روزه	۲۳	۰/۰۸۰۲
تداوم هشت‌روزه	۱۶	۰/۰۶۴۱

### ایستگاه حکیم نظامی

جدول ۷ فراوانی وقوع آلودگی ماهانه خطرناک  $PM_{10}$  را در ایستگاه حکیم نظامی نشان می‌دهد. بیشترین فراوانی رخداد آلودگی‌های خطرناک  $PM_{10}$  با ۶۱ روز در سال ۲۰۰۹ در ماه اوت رخ داده است. بعد از ماه اوت، ماه آوریل بیشترین رخداد آلودگی‌های خطرناک  $PM_{10}$  را در ایستگاه حکیم نظامی داشته است. همانند ایستگاه آبرسان، ماه ژانویه و فوریه قاقد رخداد آلودگی خطرناک بوده است. در فصل زمستان، بهسبب ریزش‌های جوی، این آلودگی‌ها به حداقل خود رسیده است. در آخرین ماه فصل زمستان و اوایل بهار فراوانی رخداد آلودگی‌ها افزایش محسوسی به خود می‌گیرد. در ماه ژوئن، رخداد آلودگی‌های خطرناک وضعیتی مشابه با ماه آوریل دارد که بیشترین رخداد آلودگی‌های خطرناک  $PM_{10}$  در ماه‌های آوریل، اوت، و اکتبر رخ داده است. در فصل پاییز، رخداد مجموع آلودگی‌های  $PM_{10}$  بهطور متوسط به زیر چهل روز رسیده است. تداوم آلودگی‌های خطرناک  $PM_{10}$  ایستگاه حکیم نظامی نشان‌دهنده این است که تداوم‌های آلودگی خطرناک  $PM_{10}$  در ایستگاه حکیم نظامی نسبت به ایستگاه‌های با غشمال و آبرسان بهشت کاهش یافته است؛ بدطوری که تداوم دوروزه در این ایستگاه با ۳۱ روز و احتمال رخداد  $452\text{,}000$  است. سایر تداوم‌ها، همانند تداوم دوروزه، کاهش در خورتوجهی را نسبت به ایستگاه‌های دیگر تجربه کرده است و تداوم هشت‌روزه در این ایستگاه به چهار روز و احتمال رخداد  $58\,000$  رسیده است (جدول ۸).

جدول ۷. فراوانی ماهانه آلودگی خطرناک  $PM_{10}$  ایستگاه حکیم نظامی طی دوره هشت‌ساله (۲۰۱۲-۲۰۰۵)

سال	۱۳۹۶	۱۳۹۵	۱۳۹۴	۱۳۹۳	۱۳۹۲	۱۳۹۱	۱۳۹۰	۱۳۸۹	۱۳۸۸	۱۳۸۷	۱۳۸۶
۲۰۰۵	۰	۱۴	۰	۴	۰	۳	۲	۶	۹	۷	۰
۲۰۰۶	۲۳	۱	۰	۰	۴	۰	۱۱	۰	۰	۱۴	۰
۲۰۰۷	۰	۰	۰	۱۳	۱	۰	۰	۰	۱۹	۰	۰
۲۰۰۸	۰	۰	۱	۰	۷	۰	۱	۱	۲	۱	۰
۲۰۰۹	۰	۲	۰	۰	۶۱	۰	۳	۰	۶	۰	۰
۲۰۱۰	۰	۰	۰	۷	۱۴	۱	۵	۲	۱۱	۲	۰
۲۰۱۱	۰	۰	۵	۱	۲۴	۰	۹	۰	۰	۰	۰
۲۰۱۲	۰	۱	۲۶	۱	۲۶	۰	۱	۰	۱۸	۰	۰



شکل ۴. فراوانی ماهانه آلودگی خطرناک  $PM_{10}$  ایستگاه حکیم نظامی طی دوره هشت‌ساله (۲۰۱۲-۲۰۰۵)

جدول ۸. رخداد آلودگی‌های خطرناک ناشی از ذرات معلق در ایستگاه حکیم نظامی طی دوره هشت ساله (۲۰۱۲-۲۰۰۵)

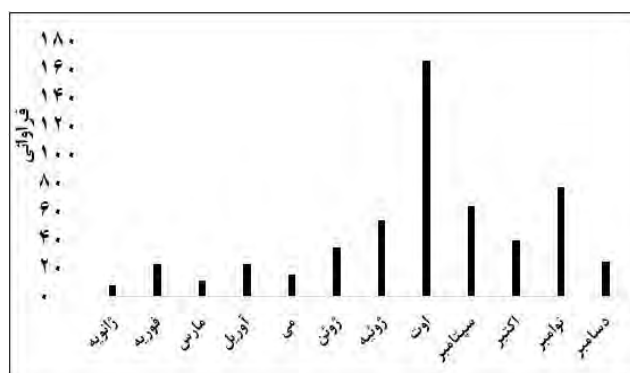
نوع تداوم	فراوانی	احتمال وقوع
تداوم دوروزه	۳۱	۰,۰۴۵۲
تداوم سه روزه	۲۴	۰,۰۳۵۰
تداوم چهار روزه	۱۷	۰,۰۳۴۸
تداوم پنج روزه	۱۱	۰,۰۱۶۰
تداوم شش روزه	۷	۰,۰۱۰۲
تداوم هفت روزه	۵	۰,۰۰۷۳
تداوم هشت روزه	۴	۰,۰۰۵۸

### ایستگاه راه آهن

جدول ۹ فراوانی آلودگی ماهانه خطرناک  $PM_{10}$  را در ایستگاه راه آهن نشان می‌دهد. ایستگاه راه آهن، در ماه ژانویه، در سال‌های ۲۰۰۶ و ۲۰۰۷، به ترتیب هفت و یک روز آلودگی خطرناک  $PM_{10}$  را تجربه کرد و این برخلاف سایر ایستگاه‌هاست که در این ماه فاقد روزی با آلودگی خطرناک  $PM_{10}$  بوده‌اند. این آلودگی‌ها در ماه فوریه افزایش محسوسی داشته است و بیشترین رخداد آلودگی خطرناک  $PM_{10}$  با ده روز در سال ۲۰۰۹ رخ داده است. در فصل بهار، تقریباً شرایط مشابه با فصل زمستان اتفاق افتاده است؛ با این تفاوت که توزیع فراوانی‌ها کمی پراکنده‌تر شده است. همان‌طور که انتظار می‌رفت، در فصل تابستان شاهد بیشترین رخداد آلودگی‌ها خطرناک  $PM_{10}$  هستیم؛ به‌طوری‌که همانند ایستگاه‌های دیگر در ماه اوت رخداد آلودگی‌های خطرناک به حداقل رسانیده است. مثلاً در سال ۲۰۰۹، در ماه اوت، ۴۴ روز آلودگی‌ها خطرناک اتفاق افتاده و در سال ۲۰۱۰ این آلودگی‌ها به ۴۸ روز در سال رسانیده است (جدول ۹).

جدول ۹. فراوانی ماهانه آلودگی‌های خطرناک  $PM_{10}$  ایستگاه راه آهن طی دوره هشت ساله (۲۰۱۲-۲۰۰۵)

سال	۱	۲	۳	۴	۵	۶	۷	۸	۹	۱۰	۱۱	۱۲	۱۳	۱۴	۱۵	۱۶	۱۷	۱۸	۱۹	۲۰	۲۱	۲۲	۲۳	۲۴
۲۰۰۵	۰	۰	۰	۰	۰	۰	۰	۰	۰	۰	۰	۰	۰	۰	۰	۰	۰	۰	۰	۰	۰	۰	۰	۰
۲۰۰۶	۰	۸	۳	۷	۱	۵	۲	۰	۲	۲	۰	۷	۰	۰	۰	۰	۰	۰	۰	۰	۰	۰	۰	۰
۲۰۰۷	۰	۳۲	۰	۰	۱۳	۲۶	۱	۰	۱	۳	۲	۰	۰	۰	۰	۰	۰	۰	۰	۰	۰	۰	۰	۰
۲۰۰۸	۱۰	۱۷	۲	۰	۷	۴	۱	۱۴	۰	۰	۴	۰	۰	۰	۰	۰	۰	۰	۰	۰	۰	۰	۰	۰
۲۰۰۹	۱	۹	۱۳	۰	۴۴	۱	۱۴	۰	۰	۰	۱	۱۰	۰	۰	۰	۰	۰	۰	۰	۰	۰	۰	۰	۰
۲۰۱۰	۷	۲	۹	۲۸	۴۸	۱	۱۱	۱	۰	۰	۰	۷	۰	۰	۰	۰	۰	۰	۰	۰	۰	۰	۰	۰
۲۰۱۱	۱	۰	۷	۴	۶	۰	۰	۰	۰	۰	۰	۱	۰	۰	۰	۰	۰	۰	۰	۰	۰	۰	۰	۰
۲۰۱۲	۴	۵	۰	۸	۶	۰	۱۶	۱	۰	۰	۰	۰	۰	۰	۰	۰	۰	۰	۰	۰	۰	۰	۰	۰

شکل ۵. فراوانی ماهانه آلودگی‌های خطرناک  $PM_{10}$  ایستگاه راه آهن طی دوره هشت ساله (۲۰۱۲-۲۰۰۵)

هرچند که به سمت اواخر پاییز از روزهای آلودگی خطرناک کاسته شده است، در ماه نوامبر، برخلاف سایر ایستگاه‌ها شاهد آلودگی‌های قابل توجهی هستیم. ولی در مجموع بیشینه رخداد آلودگی‌های خطرناک  $PM_{10}$  در ایستگاه راه‌آهن در ماه‌های اوت، سپتامبر، و نوامبر قرار دارد و بیشینه رخداد آلودگی‌های خطرناک در فصل تابستان است. در ماه‌های ژانویه تا می مقدار آلودگی‌ها نقریباً ناچیزند. وضعیت تداوم آلودگی‌های خطرناک  $PM_{10}$  در ایستگاه راه‌آهن وضعیت مشابه با ایستگاه حکیم نظامی دارد، اما نسبت به ایستگاه با غشمال کاهش محسوسی دارد. احتمال رخداد آلودگی‌های خطرناک  $PM_{10}$  با تداوم سه‌روزه ۰/۱۴۰۵ است. این در حالی است که برای تداوم هشت‌روزه این مقدار به تعداد رخداد ۱۳ و احتمال وقوع ۰/۰۴۸۲ رسیده است (جدول ۱۰).

### ایستگاه راسته کوچه

جدول ۱۱ فراوانی آلودگی ماهانه خطرناک  $PM_{10}$  را در ایستگاه راسته کوچه نشان می‌دهد. در این ایستگاه در فصل زمستان رخداد آلودگی‌های خطرناک به صورت پراکنده در بعضی از ماه‌ها مشاهده می‌شود و در ماه مارس به حداقل رسیده است و مثل اغلب ایستگاه‌ها در این ایستگاه نیز ماه ژانویه فاقد آلودگی‌های خطرناک بوده است.

جدول ۱۰. رخداد آلودگی‌های خطرناک ناشی از ذرات معلق در ایستگاه راه‌آهن طی دوره هشت‌ساله (۲۰۱۲-۲۰۰۵)

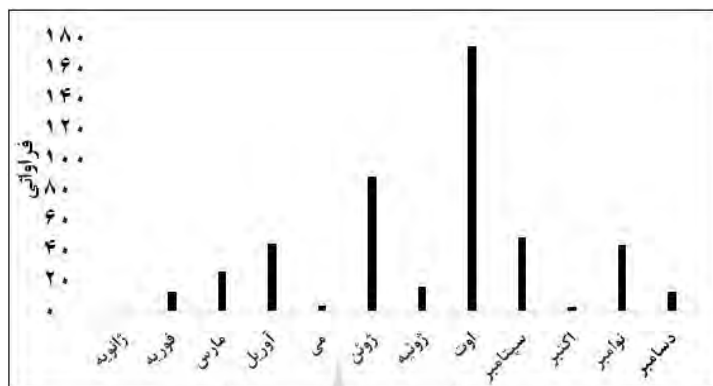
احتمال وقوع	فراوانی	نوع تداوم
۰/۱۷۵۶	۸۵	تمداوم دور روزه
۰/۱۴۰۵	۶۸	تمداوم سه روزه
۰/۱۱۹۸	۵۸	تمداوم چهار روزه
۰/۱۰۱۲	۴۹	تمداوم پنج روزه
۰/۰۸۸۸	۴۳	تمداوم شش روزه
۰/۰۷۸۵	۲۸	تمداوم هفت روزه
۰/۰۴۸۲	۱۳	تمداوم هشت روزه

جدول ۱۱. فراوانی ماهانه آلودگی‌های خطرناک  $PM_{10}$  ایستگاه راسته کوچه طی دوره هشت‌ساله (۲۰۱۲-۲۰۰۵)

سال	۲۰۰۵	۲۰۰۶	۲۰۰۷	۲۰۰۸	۲۰۰۹	۲۰۱۰	۲۰۱۱	۲۰۱۲
.	.	.	.	.	.	.	.	.
.	.	.	.	.	.	.	.	.
۱۲	۱	۰	۰	۰	۱۰	۱	۱۳	.
۱	۲۴	۰	۰	۱۸	۹	۶	۲	.
.	۰	۱	۷	۳۲	۰	۱۷	۰	۱
.	۳	۰	۲۱	۳۴	۰	۶	۲	۲۷
.	۱۲	۰	۱۹	۴۳	۲	۴۸	۱	۰
.	۳	۲	۱	۴۳	۵	۰	۱	۱۰

آلودگی‌های خطرناک  $PM_{10}$  در ماه آوریل افزایش محسوسی داشته است و در سال ۲۰۱۰ به بیشترین فراوانی خود، یعنی ۲۷ روز، رسیده است و در ماه می مجدد کاهش در خور توجهی داشته است؛ به طوری که در بیشتر سال‌ها در این ماه (می) حداقل رخداد آلودگی‌ها به دو روز در سال رسیده است. در این ایستگاه، همانند ایستگاه حکیم نظامی، در ماه ژوئن، دوباره رخداد آلودگی‌های خطرناک  $PM_{10}$  بسیار زیاد شده است، برخلاف ایستگاه‌های دیگر که حداقل رخداد آلودگی‌های خطرناک را در ماه اوت تجربه کردند. در ایستگاه راسته کوچه حداقل آلودگی‌های خطرناک  $PM_{10}$  به ۴۸ روز در سال ۲۰۱۱ در ماه ژوئن رسیده

است. در مجموع، بیشترین فراوانی رخداد آلودگی‌های خطرناک  $PM_{10}$  در ماه اوت مشاهده شده است و رخداد آلودگی‌های خطرناک در این ماه به بالای ۱۶ روز رسیده است. در ماه ژوئن، آلودگی‌های خطرناک به کمتر از صد روز در سال رسیده است (جدول ۱۱). در فصل پاییز، رخداد آلودگی‌ها به طور پراکنده در بعضی از سال‌ها زیاد بوده است. مثلاً، در ماه نوامبر در سال ۲۰۰۸ به ۲۴ روز رسیده است. جدول ۱۲ تداوم آلودگی‌های خطرناک  $PM_{10}$  را در ایستگاه راسته کوچه نشان می‌دهد. بالاترین تداوم روز برای تداوم دوره‌زی با احتمال رخداد  $200\cdot 0$  مشاهده شده است (جدول ۱۲).



شکل ۶. فراوانی ماهانه آلوگی های خطرناک PM<sub>10</sub> ایستگاه راسته کوچه طی دوره هشت ساله (۲۰۰۵-۲۰۱۲)

جدول ۱۲. رخداد آلودگی‌های خطروناک ناشی از ذرات معلق در ایستگاه راسته کوچه طی دوره هشت ساله (۲۰۰۵-۲۰۱۲)

نوع تداوم	فرارانی	احتمال وقوع
تمام دور روزه	۷۵	۰.۲۰۶۰
تمام سه روزه	۵۷	۰.۱۵۶۶
تمام چهار روزه	۴۴	۰.۱۲۰۹
تمام پنج روزه	۳۴	۰.۰۹۳۴
تمام شش روزه	۲۵	۰.۰۶۸۷
تمام هفت روزه	۱۹	۰.۰۵۲۲
تمام هشت روزه	۱۵	۰.۰۴۱۲

شکل ۷ توزیع فراوانی مجموع آلودگی‌های خطرناک  $PM_{10}$  را برای دوره شش ماهه (ژانویه الی ژوئن) در شهر تبریز نشان می‌دهد. بیشینه آلودگی‌های خطرناک  $PM_{10}$  برای ماه ژانویه در مرکز شهر قرار دارد و رخداد آلودگی‌های خطرناک به ده روز هم رسیده است. از مرکز تبریز به اطراف در ماه ژانویه رخداد آلودگی‌های خطرناک کاهش در خروج توجهی می‌باشد؛ به طوری که در نیمه جنوبی شهر تبریز به حداقل خود، یعنی یک روز، می‌رسد. در نیمه شمالی شهر تبریز زبانه‌ای از آلودگی‌های مرکز تبریز با کنترولهای هفت روز هم مشاهده شده است.

در ماه فوریه رخداد آلودگی‌ها افزایش محسوسی داشته است؛ به طوری که رخداد آلودگی‌های شهر تبریز در این ماه نسبت به ماه ژانویه در مرکز شهر تبریز تقریباً دو برابر شده است تا جایی که رخداد آلودگی‌های خطرناک در مرکز شهر تبریز به ۲۳ روز هم رسیده است. با وجود این، مرکز آلودگی‌های خطرناک  $PM_{10}$  در ماه فوریه تقریباً وضعیتی مشابه با ماه ژانویه دارد؛ با این تفاوت که جهت هسته آلودگی بیشتر به شمال غرب تبریز تمایل دارد؛ در حالی که در ماه ژانویه بیشتر به سمت شمال شهر تبریز تمایل داشته است. در نیمه‌های شمالی تبریز رخداد آلودگی‌ها به ۲۲ روز هم می‌رسد. در نیمه جنوبی تبریز مجموع رخداد آلودگی‌های خطرناک تفاوت چندانی نسبت به ماه قبل نداشته است. در ماه مارس وضعیت آلودگی‌های خطرناک  $PM_{10}$  نسبت به ماه ژانویه افزایش درخور توجهی داشته، اما نسبت به ماه فوریه تفاوت چشمگیری نداشته است. در این ماه، شبیغ تغییرات آلودگی‌های خطرناک  $PM_{10}$  کاهش یافته است؛ عدم فشردگی خطوط کنتور آلودگی‌های خطرناک ماه مارس تأییدی پر گفته فوق است. در این ماه، برخلاف دو ماه دیگر، هسته آلودگی‌های شهر

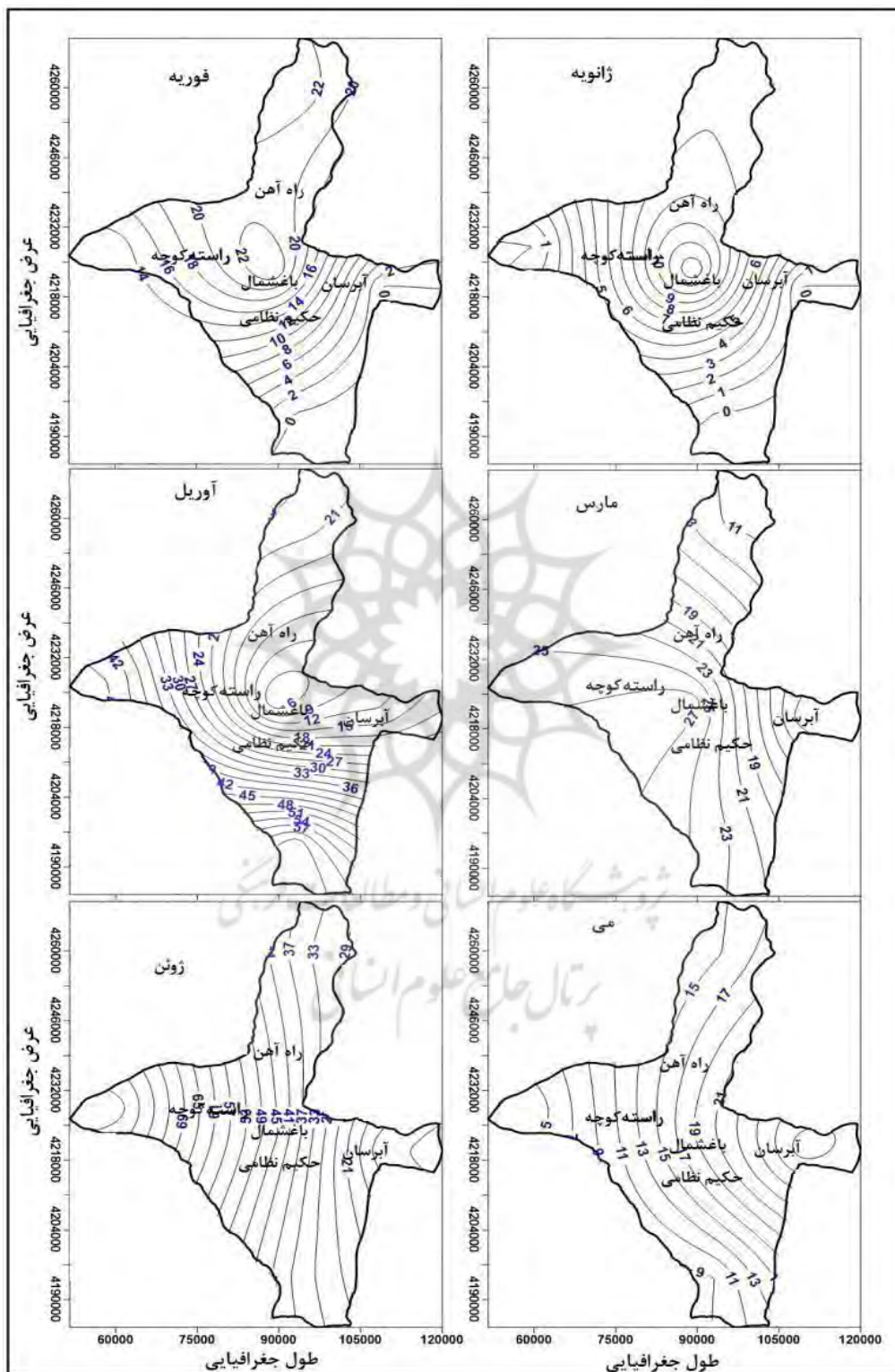
تبریز بیشتر به سمت شرق شهر تبریز تمایل پیدا کرده است؛ به طوری که بیشینه رخداد آلودگی‌های تبریز در مرکز آن به ۲۵ روز هم رسیده است.

با آغاز فصل بهار رخداد آلودگی‌های خطرناک  $PM_{10}$  به مقدار کمتری دچار تغییرات مکانی شده است؛ به طوری که رخداد بیشینه آلودگی‌های شهر تبریز در ماه آوریل با شب تغییرات زیادی بیشتر به سمت بخش‌های جنوب شهر تبریز کشیده شده است و رخداد آلودگی‌های خطرناک تبریز در بخش‌های جنوبی شهر در این ماه به ۳۶ روز هم رسیده است. این در حالی است که در ماه‌های قبل بیشینه رخداد آلودگی‌ها در ماه آوریل در شرق تبریز به کمترین مقدار خود، یعنی شش روز، رسیده است. در ماه آوریل، در بخش‌های شمالی تبریز رخداد آلودگی‌ها نسبت به فوریه تقاضت محسوسی نداشته است، اما نسبت به ماه ژانویه و مارس رخداد آلودگی‌ها در این بخش دو برابر شده است. در ماه آوریل، شب تغییرات آلودگی‌ها از مرکز شهر به سمت بخش‌های جنوبی شهر تبریز با شب تغییرات آلودگی‌های خطرناک می‌علو، علاوه بر اینکه از رخداد آلودگی‌های خطرناک  $PM_{10}$  تبریز کاسته شده است، شب تغییرات آلودگی‌های خطرناک ملایم‌تر شده است. با این حال، رخداد آلودگی‌های خطرناک در این ماه در همه بخش‌های شهر تقریباً از توزیع یکسانی برخوردار است. مثلاً اختلاف رخداد آلودگی‌های بخش‌های شمالی و جنوبی شهر تبریز به کمتر از پنج روز می‌رسد. البته، این اختلاف در مقایسه با غرب تبریز کمی زیاد است، اما در بخش کوچکی از شهر این رخداد اتفاق افتاده است. در ماه ژوئن، آلودگی‌های شهر تبریز جهتی غربی-شرقی به خود می‌گیرد؛ به طوری که بیشینه آلودگی شهر تبریز بین دو هسته کمینه‌ای در غرب و شرق تبریز محصور شده است. با این حال، شب تغییرات رخداد آلودگی‌های خطرناک نسبت به ماه می افزایش در خورتوجهی داشته است. در ماه ژوئن، رخداد آلودگی‌ها نسبت به ماه می، علاوه بر اینکه از افزایش در خورتوجهی برخوردار بوده است، شب تغییرات آلودگی‌های  $PM_{10}$  بهشدت زیاد شده است؛ به طوری که این وضعیت در بخش‌های مرکزی شهر تبریز بیشتر به چشم می‌خورد (شکل ۷، ماه‌های ژانویه الی ژوئن).

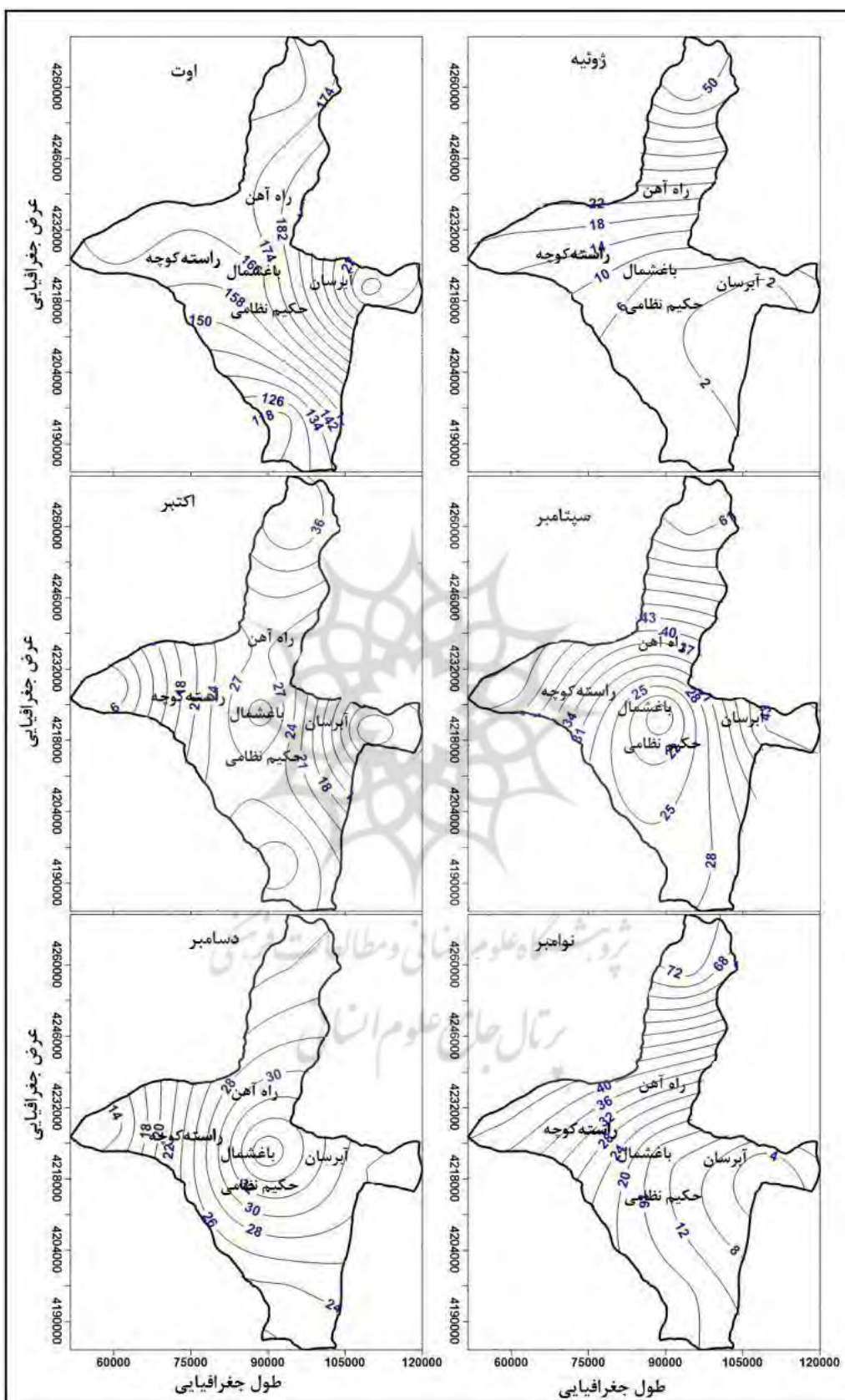
شکل ۸ توزیع فراوانی مجموع آلودگی‌های خطرناک  $PM_{10}$  را برای دوره ششم‌ماهه (ژوئیه الی دسامبر) در شهر تبریز نشان می‌دهد. با آغاز فصل تابستان رخداد آلودگی‌های خطرناک  $PM_{10}$  تبریز بیشتر به سمت بخش‌های شمالی شهر تمایل یافته است. در ماه ژوئیه، رخداد آلودگی‌ها در بخش‌های شمالی شهر تبریز به پنجاه روز هم می‌رسد. این در حالی است که این مقدار در ماه ژوئیه در بخش‌های جنوبی به کمتر از پنج روز رسیده است. با آغاز ماه اوت رخداد آلودگی‌های خطرناک  $PM_{10}$  تبریز به حداقل مقدار خود در همه بخش‌های شهر تبریز رسیده است. با این حال، هسته تراکمی آلودگی‌های خطرناک  $PM_{10}$  تبریز در ماه اوت همانند ماه‌های مارس، فوریه، و می در بخش شرقی شهر قرار دارد. هسته مرکزی آلودگی‌های خطرناک تبریز در این ماه (اوت) به ۲۲۵ روز هم رسیده است. رخداد آلودگی‌های خطرناک در بخش‌های جنوب تبریز به ۱۲۰ روز می‌رسد که نسبت به ماه‌های قبل، به ویژه ژوئیه، نزدیک به ۲۰۰ درصد افزایش داشته است (شکل ۸، ماه اوت). با آغاز فصل پاییز از تراکم آلودگی‌های خطرناک تبریز نسبت به فصل تابستان کاسته شده است. با وجود این، آلودگی‌های تبریز حالت چندهسته‌ای به خود می‌گیرند؛ به طوری که در ماه اکتبر آلودگی‌های تبریز در چهار ضلع شهر تبریز هسته‌ای تشکیل داده‌اند. بیشینه این هسته‌های آلوده با محور شمالی-جنوبی دارای هسته‌هایی مابین ۲۸ تا ۳۶ روز است و محور شرقی-غربی از شش تا هشت روز متغیر است (شکل ۷، ماه اکتبر). در ماه نوامبر، آلودگی‌های خطرناک  $PM_{10}$  تبریز نسبت به ماه اکتبر، علاوه بر اینکه افزایش قابل توجهی نداشته است، دارای شب تغییرات مکانی بسیار زیادی شده است؛ این شب تغییرات در بخش‌های شمالی شهر تبریز مشاهده می‌شود. با این حال، در ماه نوامبر، آلودگی‌های خطرناک شهر تبریز بیشتر به سمت شهرهای شمالی تبریز تمایل است (شکل ۸، ماه نوامبر).

در ماه دسامبر، دوره آلودگی‌های خطرناک  $PM_{10}$  تبریز نسبت به ماه نوامبر کاهش در خورتوجهی داشته است، اما نسبت به ماه اکتبر تغییرات قابل توجهی نداشته است؛ با این تفاوت که در ماه دسامبر هسته آلودگی‌های شهر تبریز بیشتر در نواحی مرکزی شهر متمرکز بوده است؛ به طوری که هسته مرکزی این آلودگی‌ها به ۳۶ روز هم رسیده است. کمترین

آلودگی های خطرناک  $PM_{10}$  تبریز در ماه دسامبر در بخش های غربی تبریز مشاهده شده است (شکل ۸، ماه های ژوئیه الی دسامبر).

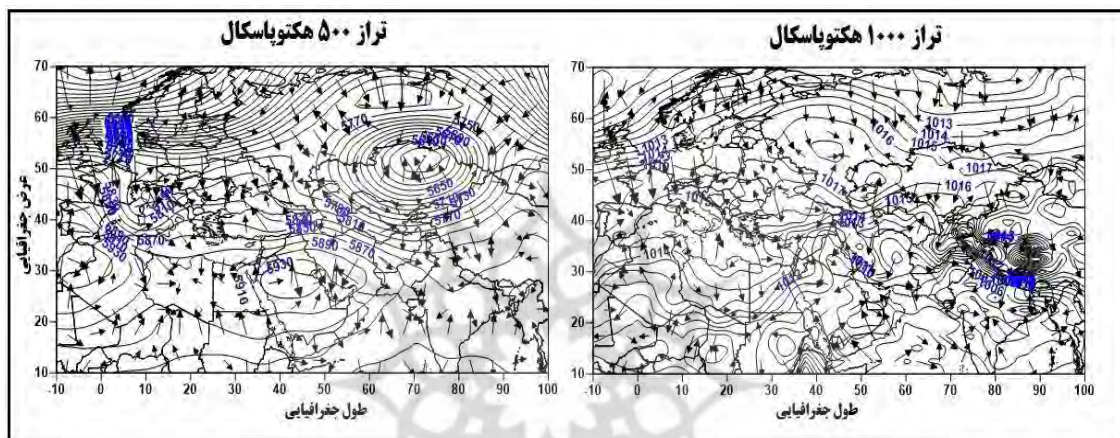


شکل ۷. توزیع مکانی تعداد روزهایی با آلودگی خطرناک  $PM_{10}$  تبریز برای ماههای ژانویه الی ژوئن طی دوره هشت ساله (۱۴۰۵-۱۴۰۶)



شکل ۸. توزیع مکانی تعداد روزهایی با آلودگی خطرناک PM<sub>10</sub> تبریز برای ماههای ژوئیه تا دسامبر طی دوره هشت ساله (۲۰۰۵-۲۰۱۲)

شکل ۸ الگوی همدیدی آلودگی‌های خطرناک PM10 را در شهر تبریز برای ترازهای ۱۰۰۰ و ۵۰۰ هكتوپاسکال در روز نماینده ۲۰۰۵/۸/۲۵ نشان می‌دهد. در این روز، میانگین آلودگی خطرناک PM10 برابر با ۵۴۱/۷۷ میکروگرم بر متر مکعب در ایستگاه‌های پنجگانه است. آنچه از نقشه‌های تراز ۵۰۰ و ۱۰۰۰ هكتوپاسکالی استنباط می‌شود این است که زبانه‌ای از پُرفشار خاورمیانه با ايزوبارهای ۱۰۱۴ هكتوپاسکال در منطقه مورد مطالعه کشیده شده است. بعضی از محققان این پُرفشار را پُرفشار جنب حاره نامیده‌اند. با توجه به نقše ۵۰۰ هكتوپاسکال، این سامانه با تشکیل هسته‌ای بر روی شمال عربستان زبانه‌هایی را با ۵۸۷۰ دکامتر بر روی منطقه مورد مطالعه (تبریز) فرستاده است و سبب پایداری جو در این روز در تبریز شده است. از طرفی دیگر، در این الگو در تراز ۵۰۰ هكتوپاسکال کم‌فشار بسته‌ای با هسته مرکزی ۵۵۰۰ بر روی منطقه سیبری و شرق دریای خزر شکل گرفته است که این کم‌فشار در واقع همان سرچالی است که بر اساس سامانه پُرفشار اروپا از هسته مرکزی جدا و سبب پایداری جو شده است.



شکل ۹. الگوی جوی فشار، ارتفاع، و جهت باد برای روز نماینده ۲۰۰۵/۸/۲۵ در تراز ۱۰۰۰ و ۵۰۰ هكتوپاسکال

## بحث و نتیجه‌گیری

پیچیده‌بودن عوامل و پارامترهای آلودگی هوا اهمیت اجرای مطالعات دقیق و هدفمند بر روی این موضوع را تداعی می‌کند. ناپایداری توسعه شهری و صنعتی کشور در سال‌های گذشته یکی از میراث‌های ناخوشایندی است که در ابعاد و گستره وسیعی محیط زیست شهری کشور، بهویژه شهرهای بزرگ، را متأثر کرده است. ابعاد این آثار در زمینه محیط زیست شهری به حدی است که حتی برنامه‌های کلان کشور نیز به طور محسوسی از این نابهنجاری‌ها متأثر می‌شود و در برنامه‌ریزی پایدار توسعه‌ای بر رفع آلودگی، بهویژه آلودگی هوا از چهره کلان‌شهرهای کشور، به عنوان یک اصل بنیادی تأکید می‌شود. بنابراین، آلودگی هوا خطری بزرگ برای بسیاری از شهرهای ایران، بهویژه کلان‌شهر تبریز، به شمار می‌آید. در این مطالعه به تحلیل زمانی- مکانی آلودگی‌های خطرناک شهر تبریز با تأکید بر PM<sub>10</sub> پرداخته شده است.

در نیمه گرم سال، بهویژه در فصل تابستان، پُرفشارهای جنب حاره‌ای نواحی وسیعی از تروپوسفر زیرین، میانی، و فوقانی را دربر می‌گیرد و گسترش عمودی این پُرفشار بر بالای ایران از سطح ۲۰۰ هكتوپاسکالی تا ۷۰۰ هكتوپاسکالی حتی پایین‌تر نیز کشیده می‌شود. به سبب نزول دائمی هوا، هیچ‌گونه حرکت صعودی انجام نمی‌گیرد و سراسر ایران از آسمانی صاف و بدون ابر و باران برخوردار است. ارتفاع کف پُرفشار جنب حاره‌ای در همه جای ایران و از روزی به روز دیگر متغیر است. در نواحی غرب ایران این پُرفشار به سطح زمین بسیار نزدیک است، ولی در قسمت‌های جنوب شرق از سطح زمین فاصله دارد و در بعضی ایام فاصله آن به ۲۰۰۰ یا ۳۰۰۰ متر نیز می‌رسد و اجازه می‌دهد هوای گرم و مرطوب زیرین بر اثر عامل همرفتی تا ارتفاع لازم صعود و ابر و باران ایجاد کند. این وضع گاهی تا شمال ایران گسترش می‌یابد و سبب نفوذ باران‌های موسمی می‌شود. افزایش دمای هوا و کاهش صعود هوا و افزایش نزول هوا با افزایش ارتفاع در مرکز پُرفشار جنب

حاره‌ای رابطه‌ای مستقیم دارد؛ یعنی هر چه میزان ارتفاع و فعالیت پُرفشار جنب حاره‌ای بیشتر باشد، شرایط برای نزول هوا و صافی آسمان و رسیدن امواج گرمایی خورشید به سطح زمین مناسب‌تر خواهد شد. علاوه بر این، پُرفشار جنب حاره‌ای سبب وارونگی دما همراه با نشست و گرمشدن هوا در تروپوسفر میانی خواهد شد. در بالای این هوا وارونه، هوا بسیار خشک و بخار آب آن نیز ناچیز است؛ به طوری که نمی‌توان آن را اندازه‌گیری کرد. پُرفشار جنب حاره‌ای، با جلوگیری از ورود سامانه‌های بارشی به عرض‌های بالاتر، سبب شکل‌گیری بیابان‌ها می‌شود. پُرفشار جنب حاره‌ای تابستانه ایران زبانه‌ای از پُرفشار آزور است که در تابستان بر ایران و شمال غرب ایران حاکم است و می‌توان گفت یکی از علل مهم افزایش آلاینده‌های خطرناک  $PM_{10}$  تبریز قلمداد می‌شود. چون این آلاینده‌های تابستانه منشأ خارجی دارند و از سیستم‌های همدیدی متاثرند، مجموعه عوامل فوق سبب شده است تا در تابستان شهر تبریز بیشترین رخداد آلودگی‌های خطرناک را تجربه کند. با آغاز فصل پاییز هسته بیشینه و کمینه آلودگی‌های خطرناک  $PM_{10}$  نسبت به فصول دیگر تغییر مکان می‌دهد. هسته‌هایی با آلودگی خطرناک  $PM_{10}$  در فصل پاییز (ماه‌های اکتبر و نوامبر) در بخش‌های شمالی شهر تبریز قرار دارد و در آخرین ماه پاییز (دسامبر) آلودگی‌های خطرناک تبریز به مرکز شهر منتقل می‌شود.

نتایج حاصل از تحلیل فراوانی رخداد آلودگی‌های خطرناک  $PM_{10}$  نشان می‌دهد که در همه ایستگاه‌های مورد مطالعه در فصل تابستان بیشترین رخداد آلودگی‌های خطرناک در ماه اوت بوده است و بیشک سیطره پُرفشار جنب حاره به سبب تشکیل لایه‌های حرارتی بر روی ایران در افزایش آلودگی‌های خطرناک تابستانه تبریز نقش مؤثری دارد. در مقابل، در فصل زمستان، در بیشتر ایستگاه‌ها رخداد آلودگی‌های خطرناک  $PM_{10}$  به کمترین مقدار خود رسیده است.

در بین ایستگاه‌های مورد مطالعه، ایستگاه‌های باغشمال و آبرسان بیشترین آلودگی‌های خطرناک  $PM_{10}$  را داشته‌اند و تعداد روزهایی با آلودگی خطرناک در هر دو ایستگاه به بالاتر از ۴۰۰ روز طی دوره مورد مطالعه (۲۰۰۵-۲۰۱۲) رسیده است. نتایج حاصل از تداوم آلودگی‌های خطرناک  $PM_{10}$  بیانگر این است که بیشتر تداوم آلودگی‌ها در ایستگاه باغشمال و کمترین تداوم آلودگی‌ها در ایستگاه حکیم نظامی و راه‌آهن مشاهده شده است. با این حال، احتمال رخداد آلودگی‌های خطرناک با تداوم دوروزه به کمتر از  $0.3\%$  در همه ایستگاه‌ها است.

توزیع مکانی هسته‌های آلودگی شهر تبریز در ماه‌های گوناگون متفاوت بوده است. با وجود این، تراکم آلودگی‌های خطرناک  $PM_{10}$  در بیشتر ماه‌ها در مرکز شهر تبریز تشکیل شده است؛ به طوری که در ماه‌های زانویه، فوریه، ژوئن، سپتامبر، اکتبر (چند هسته‌ای)، و دسامبر هسته و تراکم آلودگی‌ها در مرکز شهر قرار داشتند. در ماه‌های مارس و اوت، بیشینه فراوانی آلودگی‌ها در شرق شهر تبریز مشاهده شده است. تراکم آلودگی در غرب شهر تبریز فقط در ماه آوریل مشاهده شده است. بیشینه آلودگی‌های خطرناک در نیمه شمالی تبریز و در ماه‌های ژوئیه و نوامبر است؛ با وجود این، نیمه‌های جنوبی شهر تبریز قادر هسته آلودگی‌های خطرناک  $PM_{10}$  بوده است.

## منابع

- اداره کل حفاظت محیط زیست استان آذربایجان شرقی (۱۳۸۶). بررسی وضعیت آلودگی هوای شهر تبریز، ص ۱-۲۷.
- اصیلیان، خ؛ اردلان، س. و مرتضوی، ب. (۱۳۸۵). آلودگی هوای انتشارات میترا.
- امیری، ر؛ علی‌محمدی، ع. و علوی‌پناه، ک. (۱۳۸۶). مطالعه تغییرپذیری فضایی-زمانی حرارت در ارتباط با کاربری/پوشش زمین در منطقه شهری تبریز با استفاده از داده‌های حرارتی و انعکاسی TM و ETM+ لندست، محیط‌شناسی، ۳۳(۴۳): ۱۰۹.
- خورشیددوست، ع؛ قویدل رحیمی، ی. و ولی، ع. (۱۳۹۱). تحلیل آماری میزان و در جو ایران، نشریه جغرافیا و برنامه‌ریزی دانشگاه تبریز، ۴۱: ۲۳۷-۲۵۰.
- خورشیددوست، ع.م. (۱۳۹۳). حقایقی درباره مخاطرات طبیعی، تبریز: انتشارات دانشگاه تبریز.

- خورشیددوست، ع.م. و قویدل رحیمی، ی. (۱۳۸۵). شبیه‌سازی آثار دوبرابر شدن دیاکسید کربن جو بر تغییر اقلیم تبریز، محیط‌شناسی، ۱۰-۱۳۹.
- روشن، غ؛ خوش‌اخلاق، ف؛ نگهبان، س. و میرکتولی، ج. (۱۳۸۸). تأثیر آلودگی هوای بر نوسانات اقلیمی شهر تهران، علوم محیطی، ۱۷(۱): ۱۷۳-۱۹۲.
- شمسی‌پور، ع؛ تجیب‌زاده، ف. و حسین‌پور، ز. (۱۳۹۱). شبیه‌سازی الگوی پراکنش آلودگی هوای کلان‌شهر تهران در شرایط وزش باد، جغرافیا و مخاطرات محیطی، ۴-۱۹-۳۶.
- شکویی، ح. (۱۳۵۸). محیط زیست شهری، تبریز: انتشارات مؤسسه تحقیقات اجتماعی و علوم انسانی.
- عزتیان، و. (۱۳۸۶). بررسی تأثیر عوامل هواشناسی بر روی شاخص کیفیت هوای در شهر اصفهان، رساله دکتری جغرافیای طبیعی دانشگاه اصفهان.
- عزتیان، و. و هاشمی‌نسب، س. (۱۳۹۲). انتشار آلاینده‌های جوی چالش زیست‌محیطی شهر اصفهان، مطالعات و پژوهش‌های شهری منطقه‌ای، ۴(۱۶): ۱۴۵-۱۶۰.
- صحرابی، ج. (۱۳۹۰). آلودگی هوای انتشارات دانشگاه رازی.
- عطایی، ۵. و هاشمی‌نسب، س. (۱۳۹۰). شناسایی و تجزیه و تحلیل الگوهای تراز میانی جو مؤثر در آلودگی هوای شهر اصفهان، مجله پژوهش و برنامه‌ریزی شهری، ۲(۴): ۹۷-۱۱۲.
- مرکز آمار ایران (۱۳۹۰). سالنامه آماری، دفتر آمارهای جمعیت، نیروی کار و سرشماری.
- ولی‌زاده کامران، خ؛ صلاحی، ب. و قویدل رحیمی، ی. (۱۳۸۶). شبیه‌سازی تغییرات دما و بارش تبریز در شرایط دوبرابر شدن دیاکسید کربن جو با استفاده از مدل گردش عمومی جو مؤسسه گودارد و GISS، پژوهش‌های جغرافیایی، ۵۵-۵۶: ۵۲-۶۶.
- Amiri, R.; Weng, Q.; Alimohammadi, A. and Alavipanah, S.K. (2009). Spatial-temporal dynamics of land surface temperature in relation to fractional vegetation cover and land use/cover in the Tabriz urban area, Iran, *Remote sensing of environment*, 113(12): 2606-2617.
- Asilian, KH.; Ardalan, S. and Mortazavi, B. (2006). *Air pollution*, Publishers Mitra, 147.
- Atayei, H. and Hasheminasab, S. (2011). Identification and analysis of patterns of atmospheric middle level of air pollution in Isfahan, *Research and Urban Planning*, IV: 97-112.
- Demuzere, M. and Van Lipzig, N.P. (2010). A new method to estimate air-quality levels using a synoptic-regression approach. Part I: Present-day O<sub>3</sub> and PM 10 analysis, *Atmospheric Environment*, 44(10): 1341-1355.
- Department of Environmental Protection in East Azerbaijan Province (2007). Evaluation of air pollution in the city of Tabriz.
- Ezzatiyan, V. and HashemiNasab, S. (2013). Atmospheric emissions and environmental challenges in Isfahan, *Urban Studies and Regional Research*, 4(16): 145-160.
- Ezzatiyan, V. (2007). Effect of meteorological factors on the air quality index in Isfahan, Physical Geography Ph.D thesis, University of Isfahan.
- Kanniah, K.D. and Yaso, N. (2010). Preliminary analysis of the spatial and temporal patterns of aerosols and their impact on climate in Malaysia using MODIS satellite data. *ISPRS J Photogramm*, 38: 386-391.
- Khedairia, S., & Khadir, M. T. (2012). Impact of clustered meteorological parameters on air pollutants concentrations in the region of Annaba, Algeria. *Atmospheric Research*. 113. 89-101
- Khorshiddoust, A.M. and Ghavidel Rahim, Y. (2006). Simulate the effects of a doubling of atmospheric carbon dioxide on climate change Tabriz, *Journal of Environmental Studies*, 39: 1-10.
- Khorshiddoust, A.M. (2014). *Facts about natural hazards*, Published by the University of Tabriz.

- Khorshiddoust, A.M.; Ghavidel Rahim, Y. and Vali, A. (2012). Statistical Analysis of Temporal Oscillations of Total Ozone Rate in IRAN, *Journal of Geography and Planning*, 41: 237-250.
- Kim Oanh, N.T.; Chutimon, P.; Ekbordin, W. and Supat, W. (2005). Meteorological pattern classification and application for forecasting air pollution episode potential in a mountain-valley area. *Atmospheric Environment*, 39(7): 1211-1225.
- Landsberg, H.E. (1981). *The urban climate*, Vol. 28, Academic Press.
- Lazaridis, M. (2011). *First Principles of Meteorology*, Springer Netherlandsm, 67-118.
- Makra, L.; Mika, J.; Bartzokas, A. and Sümeghy, Z. (2007). Relationship between the Peczely's largescale weather types and air pollution levels in Szeged, southern Hungary, *Fresenius Environmental Bulletin*, 16(6).
- McGregor, G.R. and Bamzelis, D. (1995). Synoptic typing and its application to the investigation of weather air pollution relationships, Birmingham, United Kingdom, *Theoretical and Applied Climatology*, 51(4): 223-236.
- Roshan, GH.; Khoshakhlagh, F.; Neghaban, S. and Mirkatoli, J. (2009). The impact of air pollution on climate fluctuations in Tehran, *Environmental sciences, seventh year*, 1: 173-192.
- Sahraei, J. (2011). *Air Pollution*, Razi University Press
- Sánchez-Ccoyllo, O.R. and de Fatima Andrade, M. (2002). The influence of meteorological conditions on the behavior of pollutants concentrations in São Paulo, Brazil, *Environmental Pollution*, 116(2): 257-263.
- Shakue, H. (1979). *Urban Environment*, Social and Human Sciences Research Institute Publications, Tabriz.
- Shamsipour, A.; Najebzadeh, F. and Hossenpur, Z. (2012). Simulated distribution patterns of air pollution in Tehran in wind conditions, *Geography and environmental hazard*, 4: 19-36.
- Sohrabinia, M. and Khorshiddoust, A.M. (2007). Application of satellite data and GIS in studying air pollutants in Tehran, *Habitat International*, 31(2): 268-275.
- Statistical Center of Iran (2011). *Statistical Yearbook*, the Office of demographics, labor force and the census.
- USEP, A. (1998). Guideline for reporting of daily air quality-pollutant standard index-(PSI).
- Valizadeh Kamran, KH.; Salahi, B. and Ghavidel Rahim, Y. (2007). Tabriz simulated temperature and precipitation changes under a doubling of atmospheric carbon dioxide using general circulation models Goddard Institute and GISS, *geographical research*, 62: 55-66.
- Zawar-Reza, P.; Appelhans, T.; Gharaylou, M. and Shamsipour, A. (2010). Mesoscale controls on particulate matter pollution for a mega city in a semi-arid mountainous environment: Tehran, Iran, *International Journal of Environment and Pollution*, 41(1): 166-183.